

(136) 連続铸造機における鉄型振動機の振動解析

新日鉄 室蘭製鉄所

広島壯一 ○平沢秀直
笠本泰雄

1. 緒言 : 連続铸造設備の鉄型振動機の異常振動波形発生の原因と対策を究明するため振動機の振動解析を行なった。その結果異常振動波形の原因は振動機機械系の剛性不足である事が判明した。又同時に振動機の負荷である鉄型と鉄牛間の引抜抵抗が振動波形に大きく影響する事も判明したため、その値を実測した。

2. 振動解析 : 振動機の振動解析モデルを図1に示す。本モデルの振動微分方程式は(1)式である。

$$M\ddot{x} + C\dot{x} + K_s x + F + f - K_d(y - x) = 0 \quad \dots\dots(1)$$

但し 鉄型先進時 F は正 後進時 F は負

鉄型下降時 f は正 上昇時 f は負

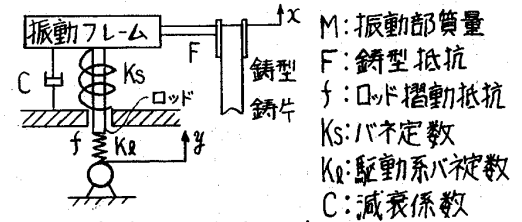


図1 振動機の振動解析モデル

(1)式をルンゲ・クッタ法により解析した結果、以下の事が判明した。

① 鉄型摩擦抵抗 F 、ロッド摺動抵抗 f 、駆動系のバネ定数 K_d の値により振動波形は設定した正弦波から大巾に変位したものとなり、その典型的なものを図2に示す。実測した振動波形は図2-(3)によく一致するものであった。

② 振動波形が上記の如く正弦波から変位している場合ネガ率は大巾に設定値から離れて例えば図2-(2)の様な鋸歯波形の場合、速度比によるネガ率 α と先進時間率によるネガ率 β も共に0となる。

③ 振動波形の改善には鉄型抵抗の減少、ロッド摺動抵抗の減少、駆動系バネ定数の増加が有効である。

3. 鉄型抵抗の測定 : 上記振動解析結果から鉄型抵抗が振動波形に大きく影響する事が判明したので、その値をロードセルを用いて測定した。圧縮型ロードセルを振動機振動フレームと鉄型の間に挿入し、铸造中連続的に記録した。図3に測定データの一例を示す。又表1に鉄型抵抗値 F_u と F_d の値及びこの値を溶鋼静圧荷重で割った摩擦係数 μ_u と μ_d を表す ($n = 119$)。図4に鋼種毎の摩擦係数を示す。以上より以下の事が判明した。

① 鉄型先進時(ネガティブストリップ時)と後進時では鉄型抵抗の方向が逆で、その絶対値は先進時の方が大きい。これは鉄牛の凝固過程に於ける収縮により先進時と後進時とで鉄型と鉄牛の接触状態が異なるためと推定される。

② 摩擦係数の値は0.1~0.45程度である。これは鉄型と鉄牛の潤滑状態が一般的に想像される流体潤滑ではなく境界潤滑か乾燥摩擦又はこれらとの潤滑状態と流体潤滑の混合状態であるためと推定される。

③ 摩擦係数と鋼種、引抜速度、ネガ率との明らかな相関は認められない。図4 鋼種別摩擦係数

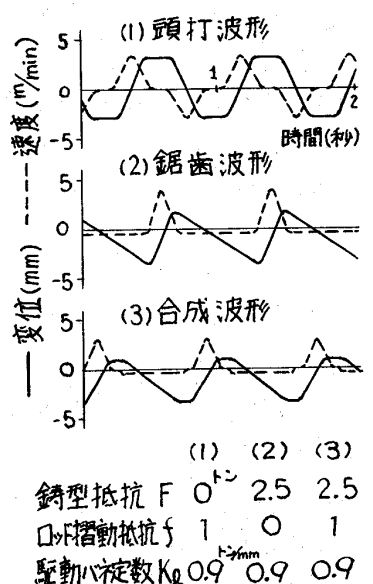


図2 振動波形(解析結果)

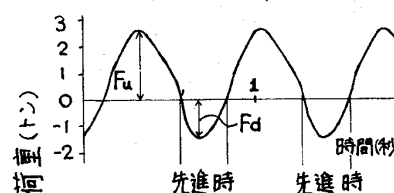


図3 鉄型抵抗実測データ

	最大	最小	平均
F_u	5.15	1.15	2.85
F_d	3.35	0.05	1.42
μ_u	0.45	0.10	0.24
μ_d	0.30	0.005	0.12

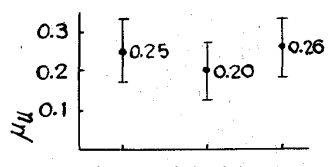


図4 鋼種別摩擦係数